

TEH

TH

(Bo, Do)

BP-V 632

1934

Grundström B.

Nature 1937, 140, 365-6

"Band ~~хакк~~ spectrum of thallium hydride"

СЛ., 1937, 7752⁹

J

F

ЕСТЬ Ф. М.

TEH (смесь), с.н

1938

Grundström B,
Valberg P.
Z. Phys., 128, 326 (1938)

113, 421 (1939). (?)

Kaptonna gaua B.F. Pedobors

N.B.O. (v, 0-4); 2.5ed.

approx. L 2,18

measured. 2,0 ± 0,2

46 measured

TEH | nspngh | 6897-VI | 1940

W. L. W. G. S. G.
Metallurgist
Metallurgical

Grundström B.,

Z. Phys., 1940, 115, 120-139

Tepmkt.

ТРН

Bulewicz S. M., Sugden T. M. 1958

№

Trans. Farad. Soc. 1958, 54, 830, № 6

Определение кр и $\Delta H_{\text{от}}$ молекул
с помощью фотокатодной пластики. Часть 4.
Стабильность BaOH, YnOH и ТРН

см. III, BaOH

ТН

Neuhans H., Muld V.

1959

ТЛД.

Б9Р - 631 - V

Z. Phys., 1959, 153, № 4, 412-22

Флюоресцентный спектр
действия галлия.

Исслед. спектр, коротк. ТН и ТЛД
в областях 4000-6100 Å при добавлении
дисперсии. Спектр ТЛД, изуч.
спектр.

РНР, 1959
№ 8, 19859

Найд. число, прикальвающее $3\pi_0 - X^1\Sigma^+$ переход

TH
Chem
No

1963

The band spectrum of TiH. T. Larsson and H. Neuhaus. *Arkiv Fysik* 23, 461-9 (1963) (in English). Four new bands were found in the spectrum of TiH in the region 4210-4300 Å. Through rotational analysis, 3 of these were identified as the (0,0), (1,0), and (2,0) bands assigned to the electronic state transition $^1\Pi - X^1\Sigma^+$, while the 4th was ascribed to a transition between $\Omega = 2$ and the lower state of the mol. based on a perturbation between the levels $^1\Pi$, $v = 1$ and $\Omega = 2$, $v = 0$. Rotational consts. were evaluated for both lower and upper states; the values for the latter are considered uncertain, owing to the perturbation and the extremely small no. of lines. The fewness of the lines is explained by assuming that the potential curve corresponding to the at. states $^2P_{3/2}^0(\text{Ti}) + ^2S_{1/2}(\text{H})$, which give rise to the upper electronic states of these bands, is very shallow. The energy of the dissoen. limit belonging to these at. states was taken as approx. that of the highest observed level (rotational quantum no. $J = 6$ in $^1\Pi$, $v = 1$), and the dissoen. energy of the ground state in TiH was calcd. as $D_0'' = 15,927 \text{ cm.}^{-1}$ No hyperfine structure was observed in TiH. The multiplet splittings in the $^1\Pi$ electronic states (or equiv.) of all the B-group hydrides and the corresponding at. doublet splittings and the mol. to at. splitting ratios are tabulated.

Radko C. Chudacek

C.A. 1963 · 5B · 13

13296 ab

1963

4 Б86. О полосатом спектре TlH. Larsson T.,
 Neuhäus H. On the band spectrum of TlH. «Arkiv
 fys.», 1963, 23, № 5, 461—469 (англ.)

Получен спектр поглощения в области 4210—4300 Å с дисперсией 2,17 ми/Å TlH, возбужденного в графитовой трубке, содержащей металлич. Tl и нагретой до 1150° в печи Кинга в атмосфере чистого H₂. Спектр состоит из 4 полос с красным оттенением, содержащих P-, Q- и R-ветви. 3 полосы отнесены к переходам 0—0, 1—0 и 2—0 системы ¹P—X¹S⁺, а четвертая — к переходу 0—0 системы ³P₂(c)—X¹S⁺. Для всех трех состояний определены вращательные постоянные. Исследованы возмущения в верхних состояниях наблюдавшихся систем, проведена корреляция этих состояний с атомными состояниями и вычислена энергия диссоциации TlH в основном состоянии $D_0'' = 15\ 927\ \text{см}^{-1}$. Обсуждены причины отсутствия сверхтонкой структуры в спектре.

B. Юнгман

Х. 1964. 4

12 Д228. Полосатый спектр TiH. Larsson T., Neuhaus H. On the band spectrum of TiH. «Arkiv fys.», 1963, 23, № 5, 461—469 (англ.)

Тек

На дифракционном спектрографе с дисперсией 2,17 м.м./ \AA получены спектры поглощения молекулы TiH, образованной в печи Кинга, содержащей металлич. Ti в атмосфере H_2 при 1150° С. В области 4200—4300 \AA найдены и проанализированы четыре новые полосы. Три из них идентифицированы как полосы (0,0), (1,0) и (2,0) перехода ' Π — $X'\Sigma^+$ ', четвертая отнесена к переходу между состояниями с $\Omega=2$ и основным. Для всех состояний ' Σ^+ ', ' Π ' и $\Omega=2$ определены соответственно следующие вращательные константы (в см^{-1}): $B_0=4,726$; $D_0=2,54 \cdot 10^{-4}$; $B_0=2,030$; $B_1=1,84$; $B_2=0,7$; $D_0=0,27 \times 10^{-2}$; $D_1=0,60 \cdot 10^{-2}$ и $B_0=1,53$, $D_0=0,35 \cdot 10^{-2}$. Вследствие возмущений и малого числа линий значения для верхних уровней недостаточно точны. Приведена схема энергетич. уровней молекулы TiH и их корреляция с атомными состояниями. Для основного состояния получен диссоциационный предел $15\ 927\ \text{см}^{-1}$. Сопоставлены спектры TiH и других гидридов группы B. Сверхтонкая структура в спектре TiH не обнаружена.

Ф. Ортенберг

ф. 1963.128

TEH Finter Marshall L., Battino 1365
Rubin.

J. Chem. Phys., 42, 19, 3222-3229.

Образование полимерных
кристаллов на основе Рудольфа-Кильда-
Рука. I. Экспериментальное изы-
учение, экспериментальная
процедура и применение к
изучению дисперсных интенсив-
ностей. (Am Oe).

TEKE

Ginter M. L.

1966

39-5430-V

J. Molec. Spectrosc., 20, n³,
240-47.

нужна мифура для $a^3T_0 - (0^-)$ \Rightarrow
 $\Rightarrow X' \bar{Z}^+ (0^+)$ - неправильная
модель \bullet In H.
(ав. Гат)

78H

A-576

1966

Hussain Z.,

Can. J. Phys., 1966, 44,
N4, 917-19.

(We)

ТЛК

ВОР-4596-IV

1966

ТЛК

1 Б80. О возмущениях в спектрах TlH и TlD. L a r g -
s o n T o g, N e u h a u s H i n g e k. On the perturbations in
the spectra of TlH and TlD. «Arkiv fys.», 1966, 31, № 4,
299—305 (англ.)

В спектре поглощения TlD не найден запрещенный пе-
реход $^3\pi_2 - X'\pi^+$, ранее наблюдавшийся в спектре TlH.
Др. отличие спектра TlD от спектра TlH заключается в
отсутствии полосы 0,0, связанной с переходом $'\pi - X'\Sigma^+$,
что объясняют наличием возмущения, вызываемого пре-
диссоциацией типа c^- по Малликену. Рассматривается
возможное влияние предиссоциации на более высокие
колебательные уровни $'\pi$ -состояния. С. Христенко

Х. 1967. 1

B95 - 4596 - V

1966

THH

TLD

~~unpublished~~

On the perturbations in the spectra of TH and TID. Tor Larsson and Hinrek Newhaus (Univ. Stockholm). *Arkiv Fysik* 31(21), 299-305(1966)(Eng). The ' $\Pi-X'\Sigma^+$ ' transition in TID, the shape of the ' $^3\Pi_0$ ' potential curve, and perturbations in the ' Π ' state are discussed. A search for the forbidden ' $^3\Pi_2-X'\Pi^+$ ' transition (previously observed in TH) in TID resulted in the finding of another perturbation of the ' Π ' state of this mol. This new perturbation is interpreted as causing a predissocn. of Mulliken's type c^- .

Robert W. Rinehart, Sr.

C.A. 1966. 65. 5
65019

Tl D

1966

V2Д181. О возмущениях в спектрах TlH и TlD.
Larsson Torg, Neuhaus Hinrek. On the perturbations in the spectra of TlH and TlD. «Arkiv fys.», 1966,
31, № 4, 299—305 (англ.)

Исследован спектр поглощения TlD (4000—5000 Å).
Показано, что в отличие от спектра TlH в спектре TlD
запрещенный переход $^3P_2 - X^1\Pi^+$ не наблюдается.
В спектре TlD также отсутствует полоса (0,0)-перехода
 $^1\Pi - X^1\Sigma^+$. Появление этих полос в спектрах TlH объяс-
нено возмущением, вызываемым предиссоциацией типа
c— по Малликену.

С. Христенко

7.1967.22

ТР Н

У

5822

BGP

Yerč F.

J. Russ. Spectrosc., 24, n 3,
284.

Придеревные носильки. Кру-
гое основание со скошенными
2-мя торцами. Плавление.



(acc. Галл)

1984

TEH

B90 - 908 - XV

1972

130942j Potential energy curves and dissociation energies of diatomic hydrides of gallium and thallium. Nair, K. P. R.; Amma, R. Ammini (Dep. Spectrosc., Banaras Hindu Univ., Varanasi, India). *Indian J. Pure Appl. Phys.* 1972, 10(2), 93-5 (Eng). The dissocn. energies of diat. hydrides of Ga and Tl were computed by fitting empirical potential functions to the exptl. potential-energy curves of the mols. The Lippincott 3-parameter function and the Szoek and Baitz electronegativity potential functions were used for this purpose. The estd. dissociation energies compare well with the values calcd. by other methods.

(D0)

C.A. 1972, 77, N20.

(+1) QaH.,

18

6117

TEH

A-2091

1973

TEP

Miller, Cool Spectral
Ag. Data 1973, S(I), 2-49.

M.N.

● (act. LiH; III)

1974

TlHy

6mmuek 2549

Hensen Karl, Ichaiatr Manfred
et. al.

Theor. chim. acta "1974, 34, N4
327-337 (see pg. ause)

H-TE

QW007. 4884

1975

Kerr J. A., et al.

Handbook Chem. Phys.,
55th Ed., 1974-75.

(D)

70104.8449

34457

1976

Ph., ETC, MGU

TlH

X 4516109

Dongre M.B. On the application of
 the method for the rapid computation of
 true potential energy curve of certain
 diatomic molecules. "Indian J. Phys.",
 1976, 50, N 3, 409-415 (МГД.)

(ед. № 4, III)

0784

744 744 776

ВИНИТИ

TEK

1976

Pyykkö P., et al.

Chem. Phys. Lett. 1976,
42, N 3, 545-9.

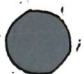
(lit. 61.)

venustus

coeruleus

ze

Domino'



(all. BH; III)

TEH

Commun 8789

1979.

Bogawall S. R., et al.

(D₂, H₂O)

Chem. Phys. Lett.; 1979,

67(2,3), 5114-16

TEH

unreduced 8901

1979

Ohwada K.

Spectrochim. acta,
1979, A35, 1353-57.

Car, no. 5

ТеH

Омск 11123

1980

8 Д121. Электронная структура ТИН в основном состоянии по данным релятивистских расчетов в много-конфигурационном приближении ССП. Electronic structure for the ground state of TiN from relativistic multi-configuration SCF calculations. Christiansen Phillip A., Pitzer Kenneth S. «J. Chem. Phys.», 1980, № 73, 5160—5163 (англ.)

Рассчитана потенц. кривая для основного состояния молекулы ТИН. Расчеты проводились в рамках метода ω — ω -связи в релятив. приближении; использовался релятивистский эффективный потенциал («J. Chem. Phys.», 1979, 71, 4445). Учет корреляции ионных эффектов осуществлялся путем проведения расчетов в многоконфигурац. приближении ССП (учитывалось до 5 конфигураций). Получены следующие значения спектроскопич. постоянных (в скобках — эксперим. значения): R_e (Å) = 1,96 (1,87), D_e (эВ) = 1,66 (1,97) ω_e см⁻¹ = 1330 (1391). σ -Связь ТИН является слегка ионной ($Tl^{+0,3}N^{-0,3}$). Результаты данной работы заметно лучше согласуются с эксперим. данными, чем полученные в ранних исследованиях.

В. И. Барановский

расчес
релятив.
коэффициент
нестабиль

66, 11

φ. 1981 N 8

ТГИ

12 Б46. Электронная структура основного состояния TiH из релятивистских расчетов многоконфигурационным методом ССП. Christiansen Phillip A., Pitzer Kenneth S. Electronic structure for the ground state of TiH from relativistic multiconfiguration SCF calculations. «J. Chem. Phys.», 1980, 73, № 10, 5160—5163 (англ.)

В области межъядерных расстояний от 3 до 15 ат. ед. рассчитана потенциальная кривая основного состояния молекулы TiH. Использован формализм релятивистского эффективного потенциала (см. «J. Chem. Phys.», 1980, 73, 360), в к-рый введены след. усовершенствования. В рамках релятивистской ω — ω -связи приближение ССП заменено на многоконфигурац. метод ССП (МК ССП). Эффективный потенциал типа Филлипса — Клейнмана заменен на потенциал замороженного остова. Использован базисный набор слейтеровских ф-ций, близкий по кач-ву к двухэкспонентному с учетом поляризац. орбиталей. Сопоставлены результаты расчетов с одной конфигурацией (метод ССП), с двумя и пятью конфигура-

Д. Струев.
Бер. сост.

Х. 1989. N12

циями (МК ССП). Определены и сопоставлены с эксперим. данными равновесное межъядерное расстояние, энергия диссоциации и основная частота колебаний. С пятидeterminантной волновой ф-цией воспроизводится 85% эксперим. энергии диссоциации. Найдено,

что связь в молекуле является слабо ионной с небольшим смещением отриц. заряда к водороду.

А. В. Немухин

УСТО.
ОМ

TlH

Comments 11123

1980

Kb, weak,
fairly
nonreactive.

p-sulfur

' 94: 20744q Electronic structure for the ground state of thallium(I) hydride from relativistic multiconfiguration SCF calculations. Christiansen, Phillip A.; Pitzer, Kenneth S. (Dep. Chem., Univ. California, Berkeley, CA 94720 USA). *J. Chem. Phys.* 1980, 73(10), 5160-3 (Eng). The dissocn. curve for the ground state of TlH was computed using a relativistic $\omega-\omega$ coupling formalism. The relativistic effects represented by the Dirac equation were introduced using effective potentials generated from at. Dirac-Fock wave functions by a generalization of the improved effective potential formulation of P. A. Christiansen, et al., (1979). The multiconfiguration SCF treatment used is a generalization of the 2-component mol. spinor formalism of Y. S. Lee, et al., (1978). With a 5 configuration wave function approx. 85% of the exptl. dissocn. energy was obtained. The bond is principally σ in form, despite the large spin-orbit splitting in at. Tl. The bond appears to be slightly ionic (Tl^+H^-) with about 0.3 extra electron charge on the H.

C.A. 1981. 94 n 4

TEH

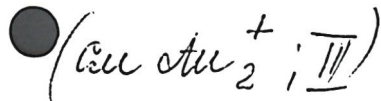
Lommel 10320

1980

ref. rec.
pacet

See Y.S., et al.

E; γ ; Z. Chem. Phys., 1980, 73
(1), 360 - 366.



TEH

Lommel 11753 | 1981.

Kant A., et al.

(δ_0)

High Temp. Sci.,

1981, 14, 23-31

ΔH ,

k_p



(all. AlH; III)

ТГУ

Отмск 11024

1981

8 Д122. Изменение ковалентной связи в соединениях тяжелых элементов вследствие релятивистских эффектов. Расчеты ТГН. Relativistic modifications of covalent bonding in heavy elements. Calculations for TГН. Pitzer Kenneth S., Christiansen Phillip A. «Chem. Phys. Lett.», 1981, 77, № 3, 589—592 (англ.)

В многоконфигурационном приближении ССП рассчитаны потенц. кривые ТГН. Расчеты проводились методом эффективного потенциала в двойном экспоненц. базисе в трех вариантах: а) без учета вклада компоненты $r_{3/2}$; б) с вариац. учетом этого вклада и в) для «нормальной» σ -связи с исключением спин-орбитального взаимодействия, но сохранением остальных релятив. эффектов. В случае а) энергия связи составляет $\sim 1/3$ от полученной в случае в) и $\sim 1/2$ от полученной в случае б). Расчеты показывают, что «ортогональная триплетная связь (Рурег N. C. «Chem. Phys. Lett.», 1980, 73, 385) дает лишь незначительный вклад в связывание.

О. В. Сизова

ф. 1981 N 8

оттиск 11024 1981

ТГН

13 Б28. Релятивистские модификации ковалентной связи в тяжелых элементах. Расчеты для TlH. Pitzer Kenneth S., Christiaansen Philip A. Relativistic modifications of covalent bonding in heavy elements. Calculations for TlH. «Chem. Phys. Lett.», 1981, 77, № 3, 589—592 (англ.)

В рамках релятивистского многоконфигурац. метода ССП с учетом ω — ω -связи и использованием приближения эффективного релятивистского остоянного Пт рассчитана потенциальная кривая основного состояния молекулы TlH. Расчеты проводились с учетом возможного промотирования электрона с валентной $p_{1/2}$ -орбитали на $p_{3/2}$ -орбиталь Tl (рассматривается один валентный релятивистский p -электрон), без учета этого промотирования и при исключении из рассмотрения спин-орбитального расщепления $p_{1/2}$ — $p_{3/2}$. В последнем случае оказывается возможным построить «нормальную» связь между атомами Tl и H. Результаты расчетов

и. н;
рассчитаны
исследованием
исследований

2-1981.113

анализированы с учетом мнения Пайпера («Chem. Phys. Lett.», 1980, 73, 385) о том, что при учете релятивистских эффектов в тяжелом атоме $p_{1/2}$ -спинор имеет σ - и π -компоненты, и π -компонента $p_{1/2}$ -спинора может взаимодействовать с атомами Н, образуя «ортогональную триплетную связь» (OTC). Данные расчетов ТlН, а также анализ лит. данных по гидридам тяжелых элементов показали, что в химически интересных случаях с ns^2 -оболочкой ОTC (вопреки выводу Пайпера) является весьма слабым взаимодействием. Связь в ТlН изменяется при учете релятивистских эффектов, включая существенную величину энергии, необходимую для промотирования из $p_{1/2}$ - в $p_{3/2}$ -валентную орбиталь Тl, однако ОTC при этих изменениях связи является малосущественным эффектом.

И. А. Тополь

TCH

OMNUCK 11024 1981

94: 90775z Relativistic modifications of covalent bonding in heavy elements. Calculations for thallium hydride. Pitzer, Kenneth S.; Christiansen, Phillip A. (Dep. Chem., Univ. California, Berkeley, CA 94720 USA).- *Chem. Phys. Lett.* 1981, 77(3), 589-92 (Eng). To det. whether the orthogonal triplet bond proposed by N.C. Pyper (1980) is an important factor in the bonding of H to a very heavy element with a single $P_{1/2}$ valence electron, dissociation curves for TiH were calcd. by using fully relativistic quantum methods. The present results and literature information indicate that the orthogonal triplet interaction makes no significant contribution to bonding.

normed
Kspclas
recards

P.A. 1981.24N12

ТН

1982

рассел
ионизир.
структур

09.1982, 18, N 11

11 Д115. Неэмпирические релятивистские расчеты молекулярной структуры с учетом конфигурационного взаимодействия с применением к ТИН. Relativistic ab initio molecular structure calculations including configuration interaction with application to six states of TiH. Christiansen Phillip A., Balasubramanian K., Pitzer Kenneth S. «J. Chem. Phys.», 1982, 76, № 10, 5087—5092 (англ.)

Предложен метод расчета электронной структуры молекул с учетом спин-орбитального взаимодействия (СОВ) и электронной кулоновской корреляции. Вычислительная процедура этого метода включает следующие этапы: расчет векторов МО с использованием усредненного по спину релятивистского эффективного потенциала (РЭП); преобразование интегралов; расчет матричных элементов оператора СОВ, представленного в виде разности точного и усредненного по спину РЭП;

построение матрицы конфигурац. взаимодействия, сложение ее с матрицей СОВ и диагонализация получаемой комплексной эрмитовой матрицы. Проведен расчет низколежащих электронных состояний ТІН. Остов $(1,2,3s,2,3p)$ ТГ считался замороженным; для описания валентного подпространства использовался двухэкспонентный базис действительных слэтеровских орбиталей. Построены потенц. кривые, определены спектроскопич. постоянные и энергии нескольких электронных переходов. Результаты находятся в хорошем согласии с данными электронно-колебательной спектроскопии.

А. В. Зайцевский

ТРН

1982

21 Б26. Релятивистские неэмпирические расчеты молекулярной структуры, включающие учет конфигурационного взаимодействия с применением к шести состояниям T1H. Christiansen Phillip A., Balasubramanian K., Pitzer Kenneth S. Relativistic ab initio molecular structure calculations including configuration interaction with application to six states of T1H. «J. Chem. Phys.», 1982, 76, № 10, 5087—5092
(англ.)

М.Н., ПОМЕХИ,
КРИСТИАНСЕН

Предложен метод учета эффектов спин-орбитального взаимодействия (СОВ) в рамках метода ограниченного конфигурац. взаимодействия (КВ) при расчетах структуры и электронного строения молекул, содержащих очень тяжелые атомы. Оператор СОВ определен по разности эффективных остоянных потенциалов, различных для состояний с $j=l+1/2$ и $j=l-1/2$, где j — полный момент атомного состояния, а l — угловой момент. Необходимые интегралы СОВ вычисляются и добавляются к обычному массиву интегралов после проведения расчетов на стадии метода ССП МО ЛКАО и.

X.1982, 19, N21

преобразования интегралов для дальнейших расчетов на стадии приближения КВ. Метод позволяет избавиться от комплексных коэф. в процессе преобразования интегралов и учитывает СОВ на том же качеств. уровне, что и эффекты электронной корреляции. Диагонализация результирующей комплексной матрицы КВ+СОВ требует примерно в 2 раза больше времени, чем диагонализация обычной матрицы КВ. Метод применен для расчета потенциальных кривых двух низших O^+ и J^- , а также низших O^- и 2^- -состояний молекулы TlH . Спектроскопич. параметры рассчитанных состояний TlH хорошо согласуются с эксперим. данными и позволяют интерпретировать ряд особенностей эксперим. оптич. спектров.

И. А. Тополь

истоя
"РМ"

TEH

1982

curve-optum.
by all means,
gather,
pacem

' 97: 12150q Relativistic ab initio molecular structure calculations including configuration interaction with application to six states of thallium(I) hydride. Christiansen, Phillip A.;

Balasubramanian, K.; Pitzer, Kenneth S. (Dep. Chem., Univ. California, Berkeley, CA 94720 USA). *J. Chem. Phys.* 1982, 76(10), 5087-92 (Eng). A system for the inclusion of spin-orbit coupling along with moderate scale CI in calcns. for mols. contg. very heavy elements is demonstrated. In this effective potential procedure, rigorous ab initio spin-orbit integrals are computed and added to the conventional integral set after the SCF and integral transformation steps of the calcn. This avoids the use of complex coeffs. in the integral transformation and yet includes spin-orbit corrections on an equal footing with electron correlation. The diagonalization of the resulting complex CI plus spin orbit matrix requires only about twice the time of a real CI diagonalization. Present calcns. on the two lowest 0^+ and 1^- states and the lowest 0^- and 2^- states of TlH indicate that this procedure allows adequate flexibility in the electronic coupling, resulting in bonding curves which are in good agreement with the exptl. established curves. The results also help to understand and to confirm previously conjectural interpretations of other spectra data.

C.A. 1982, Pt. N2

THL

[Om. 18459]

1982

Pitzer K. S.,

Int. J. Quantum Chem., 1984,
25, N1; Proc. Symp. Relativ.
Eff. Quantum Chem., 1980,
June 21-23, 1982, 131-148.

расчет
кривых и
поверх.
поменял
энергии,
 Δ_0, Δ_i ,
ab initio
расчет.

TEH

1983

Pitzer K. S.

Relativistic Eff. Atoms,
Mol., and Solids. Proc.

Poserem
et. al.

NATO Adv. Study Inst., Van-
couver, 10-21 Aug., 1981. New
York; London, 1983, 403-
-420.
(Cer. F_2 ; III)

TCH

1984

Pitzer Kenneth S.

Int. J. Quantum Chem.,

menog 1984, 25, N^o: Proc. Symp.

pacema Relativ. Eff. Quantum

n. n. Chem., ABO, June 21-23,
1982, 131-148.

(see. Al_2 ; III)

TEH

L011 · 222951

1985

Jenc F., Brandt B. A.,

ROMERUS.
JACOB,
DEHELIY.
LOOMBECK,

Chem. Phys., 1985,
99, N 2, 285-291.

LLN.

Тех+

Тех

1987

11 Б1012. Релятивистские эффекты в молекулах:
расчеты с псевдопотенциалом для TlH^+ , TlH и TlH_3 .
Relativistic effects in molecules: pseudopotential calculations
for TlH^+ , TlH and TlH_3 / Schwerdtfeger P. //
Arbeitsber. / Inst. Theor. Chem. Univ. Stuttgart.— 1987.
— № 26.— С. 151—179.— Англ.

Неэмпирическим методом ССП с использованием
псевдопотенциала для остевых электронов металла,
включая $5d^{10}$ -оболочку, и с учетом конфигурац. взаимо-
действия, рассчитана электронная структура и св-ва
молекул $TlH^+(I)$, $\underline{TlH}(II)$ и $\underline{TlH}_3(III)$ в основном со-
стоянии. На основе расчетов атома Tl методами ССП и
Дирака—Фока подобраны параметры нерелятивистско-
го, релятивистского и полуэмпирич. псевдопотенциалов
остова и проведено сравнение результатов для атома
и ионов Tl^{n+} и для молекул I—III, полученных с
использованием различных псевдопотенциалов. Показано,
что результаты релятивистских расчетов при учете
перекрывания оставов хорошо согласуются с имеющи-

(+1) ~~10~~

X. 1989, NII

Техз

мися эксперим. данными. Найдено, что релятивистское сжатие связи Tl—H составляет 3,5 и 5,3% для II и III соотв.; это связано с большим участием *s*-AO_{Tl} в хим. связи в III. Для I релятивистские эффекты приводят к резкому удлинению (на 0,65 Å) и ослаблению связи Tl—H (энергия диссоциации уменьшается с 7,4 до 2,3 ккал/моль) из-за сжатия 6s-AO. Обсуждено влияние релятивистских эффектов на силовые постоянные, дипольный и квадрупольный моменты и Пт ионизации молекул.

В. К. Михалко

в. Пр
чтов

1987

† 12 Д142. Релятивистские эффекты в молекулах.
Расчеты TIH^+ , TIH и TIH_3 в приближении псевдопотенциала. Relativistic effects in molecules. Pseudopotential calculations for TIH^+ , TIH and TIH_3 . Schwerdtfeger P. «Phys. scr.», 1987, 36, № 3, 453—459 (англ.)
Место хранения ГПНТБ СССР

Строение молекул TIH^+ , TIH и TIH_3 в основных электронных состояниях исследовано в валентном приближении с использованием неэмпирических релятивистских и нерелятив. псевдопотенциалов атомного остова Ti^{3+} , а также полуэмпирического оствновного потенциала, позволяющего воспроизводить основные эффекты оствновно-валентной корреляции. Вычислены равновесные геометрич. параметры, энергии диссоциации, силовые постоянные, дипольные моменты и их производные по смещениям ядер, потенциалы ионизации. Результаты демонстрируют достаточно высокую надежность трехэлектронной модели атома Ti. Показано, что спин-орбитальные взаимодействия почти не влияют на равновесные длины связей, но их учет необходим при оценке стабильности молекул. Библ. 80. А. В. Зайцевский

φ. 1988, N 12

TLH

1988

Ramoss S. F., Pypor N. C.
et al.

N, meop. Phys. Rev. A: Gen. Phys.
paerem 1988, 36 (6), 2429-39.

(ciii. Aut; III)

TEH

(OM 34169)

1989

M.N. Balasubramanian K.,
Krebsche Chem. Rev. 1989, 89, N8,
nomens. 1801-1840.

Spectroscopic Properties and
Potential Energy Curves for
Heavy p-Block Diatomic
Hydrides, Halides and
Chalcocides.

TEU

1989

Magg U., Birk H., et al.,

Diode Laser Spectroscopy of
Transient Diatomic Metal-
Hydrides.

Eleventh Colloquium On High
Resolution Molecular
Spectroscopy, ● Biessen, Septem-

ber 18-22, 1989, A1, 28-29.

PLH

(Dr. 32648)

1989

111: 104725s The diode laser spectrum of thallium hydride (^{205}ThH and ^{203}ThH) in its ground electronic state. Urban, Rolf Dieter; Bahnmaier, Albert H.; Magg, Ulrich; Jones, Harold (Abt. Phys. Chem., Univ. Ulm, D-7900 Ulm, Fed. Rep. Ger.). *Chem. Phys. Lett.* 1989, 158(5), 443-6 (Eng). The gas-phase IR spectrum of 2 isotopic forms of Th H (^{205}ThH 70.5% and ^{203}ThH 29.5%) in their ground electronic states was obsd. using a diode laser spectrometer. The waveno. of transitions with $J \leq 32$ were detd. in the fundamental and hot bands up to $v = 3 \leftarrow 2$. A total of 98 transitions were measured with a nominal accuracy of $\pm 0.001 \text{ cm}^{-1}$. These data were used to obtain accurate values for the ground-state Dunham parameters for ThH. Attempts to fit the exptl. data of ThH and those obtained previously for GaH and InH directly to the Dunham potential function revealed some unexpected problems.

C.A.1989, 111, n/2

TLH

1989

Balasubramanian K.

(00208)
M.N. Chem. Rev. 1989, 89,
N.S. C. 1801 - 1840.

(Seei. Gett; II)

РЛН

ОМ 32648

1989

12 Л170. Диодно-лазерный спектр гидрида таллия (^{205}TIH и ^{203}TIH) в основном электронном состоянии. The diode laser spectrum of thallium hydride (^{205}TIH and ^{203}TIH) in its ground electronic state / Urban Rolf-Dieter, Bahnmäier Albert H., Magg Ulrich, Jones Harold // Chem. Phys. Lett.— 1989.— 158, № 5.— С. 443—446.— Англ.

С использованием диодно-лазерного спектрометра получены ИК-спектры поглощения двух изотопов гидрида таллия (процентное соотношение в газе: ^{205}TIH — 70,5%, ^{203}TIH — 29,5%) в основном электронном состоянии. Определены волн. числа переходов на уровня с вращательным квантовым числом J до 32 в фундаментальных и горячих полосах вплоть до $v=3\leftarrow 2$. На основании волн. чисел для 98 переходов, измеренных с точностью 0,001 см $^{-1}$, определены параметры Данхема для потенц. кривой основного состояния. Обсуждены затруднения, возникающие при непосредственном применении анализа Данхема к эксперим. данным для гидридов элементов III группы: Ga, In и Tl.

Е. П. Смирнов

φ. 1989, N 12

ПДН

Он 32648

1989

№ 24 Б1416. Диодный лазерный спектр гидрида таллия (^{205}TIH и ^{203}TIH) в основном электронном состоянии. The diode laser spectrum of thallium hydride (^{205}TIH and ^{203}TIH) in its ground electronic state / Urban R. D., Bahnmaier A. H., Magg U., Jones H. // Chem. Phys. Lett.— 1989.— 158, № 5.— С. 443—446.— Англ.

Методом диодной лазерной спектроскопии измерены фрагменты вращат. структуры полос 1—0, 2—1 и 3—2 в ИК-спектрах поглощения ^{205}TIH и ^{203}TIH в газ. фазе ($J \leq 32$). Из анализа спектров получены след. значения (в см^{-1}) параметров Данхема Y_{10} , Y_{20} , Y_{30} ($\cdot 10^2$), Y_{01} , Y_{11} , Y_{21} ($\cdot 10^3$), Y_{31} ($\cdot 10^5$), Y_{02} ($\cdot 10^4$), Y_{12} ($\cdot 10^6$), Y_{22} ($\cdot 10^7$), Y_{03} ($\cdot 10^9$): ^{205}TIH — 1391,2681; —23,0995; 8,247; 4,793340; —0,141509; 1,7167; —9,092; —2,26764; 5,292; —2,659; 5,361; ^{203}TIH — 1391,3012; —23,1013; 8,265; 4,793607; —0,141513; 1,7145; —9,102; —2,26863; 5,279; —2,612; 5,421.

В. М. Ковба

Х. 1989, № 24

TLH

1992

Ogilvie J.F.,

Chem. Phys. Lett., 1992,
191, N6, C. 592 - 598

M.N.

(cell. AgCl;  III)

TH

1994

Schwerdtfeger P.,
Ischtwan J.

(Z_e, D_e,
eul. noceū.) THEOCHEM 1994,
Koppenburg 112 (1), 9-19.



(aer. BH; ii)

TPH

1995

Seijo Leis.

nuop.
pacem
kilomeetrix
st. coecii

J. Chem. Phys. 1995,
102 (20), 8078 - 88.



(C₂₁.HF; III)

TCH

PM 39248

1997

128: 172353v An extrapolation scheme for spin-orbit configuration interaction energies applied to the ground and excited electronic states of thallium hydride. Rakowitz, Frank; Marian, Christel M. (Inst. Phys. Theoretische Chem., Univ. Bonn, D-53115 Bonn, Germany). *Chem. Phys.* 1997, 225(1-3), 223-238 (Eng), Elsevier Science B.V.. All-electron relativistic calcns. have been performed on the 0⁺ ground state of TlH and all excited electronic states that dissociate to H(²S) and the 1/2(I) and 3/2(I) components of Tl(²P). MOs are optimized employing a spin-free no-pair Hamiltonian while spin-orbit coupling is taken into account subsequently by one of the following approaches: (a) quasi-degenerate perturbation theory on the basis of multi-ref. CI wave functions; (b) spin-orbit CI; and (c) spin-orbit CI combined with a perturbation theory est. of the electron correlation contributions from discarded configurations. Spin-polarization is found to have a significant influence on the spectroscopic parameters of the ground and excited electronic states. Results in most satisfactory agreement with expt. are obtained, if approach (c) is applied.

M. M. Rem
J. A. C. Lem
DCA. O⁺
M. C. COOM

C.A. 1998, 128, N14

ом. 39248

1997

F: TlH

P: 3

19Б113. Экстраполяционная схема для энергетических расчетов методом КВ с учетом спин-орбитальных взаимодействий, примененная к основному и возбужденным электронным состояниям гидрида таллия.

An extrapolation scheme for spin-orbit configuration interaction energies applied to the ground and excited electronic states of thallium hydride / Rakowitz Frank, Marian Christel M. // Chem. Phys. - 1997. - 225, 1-3. - С. 223-238. - Англ.

РХИ, 1998, №9

Основное O{+}-состояние T₁H и все его возбужденные электронные состояния, диссоциирующие на H({2}S) и 1/2 (I)- и 3/2 (I)-компоненты T₁({2}P), исследованы в полноэлектронном релятивистском приближении с оптимизацией MO в рамках свободного от спина непарного гамильтониана и с рассмотрением спин-орбитальных взаимодействий в трех различных приближениях КВ. Библ. 39.

TLH

2001

134: 121243a GRECP/MRD-CI calculations of spin-orbit splitting in ground state of Tl and of spectroscopic properties of TlH.
Titov, A. V.; Mosyagin, N. S.; Alekseyev, A. B.; Buenker, R. J. (Petersburg Nuclear Physics Institute, Gatchina, Russia 188350). *Int. J. Quantum Chem.* 2001, 81(6), 409-421 (Eng), John Wiley & Sons, Inc. The generalized relativistic effective core potential (GRECP) approach is employed in the framework of multireference single- and double-excitation CI (MRD-CI) method to calc. the spin-orbit splitting in the $^2P^0$ ground state of the Tl atom and spectroscopic consts. for the 0^+ ground state of TlH. The 21-electron GRECP for Tl is used, and the outer core 5s and 5p pseudospinors are frozen with the help of the level shift technique. The spin-orbit selection scheme with respect to relativistic multireference states and the corresponding code are developed and applied in the calcns. In this procedure both correlation and spin-orbit interactions are taken into account. A [4,4,4,3,2] basis set is optimized for the Tl atom and employed in the TlH calcns. Very good agreement is found for the equil. distance, vibrational frequency, and dissocn. energy of the TlH ground state ($R_e = 1.870 \text{ \AA}$, $\omega_e = 1420 \text{ cm}^{-1}$; $D_e = 2.049 \text{ eV}$) as compared with the exptl. data ($R_e = 1.872 \text{ \AA}$, $\omega_e = 1391 \text{ cm}^{-1}$; $D_e = 2.06 \text{ eV}$).

MEOP. FAVEL
U/I. DC

C.A. 2001, 134, NG

TEKE

(DM 41433)

2002

Wenjian Liu et al.,

creamy.
no cm.

J. Chem. Phys. 2002,
116, N9, 3626-34